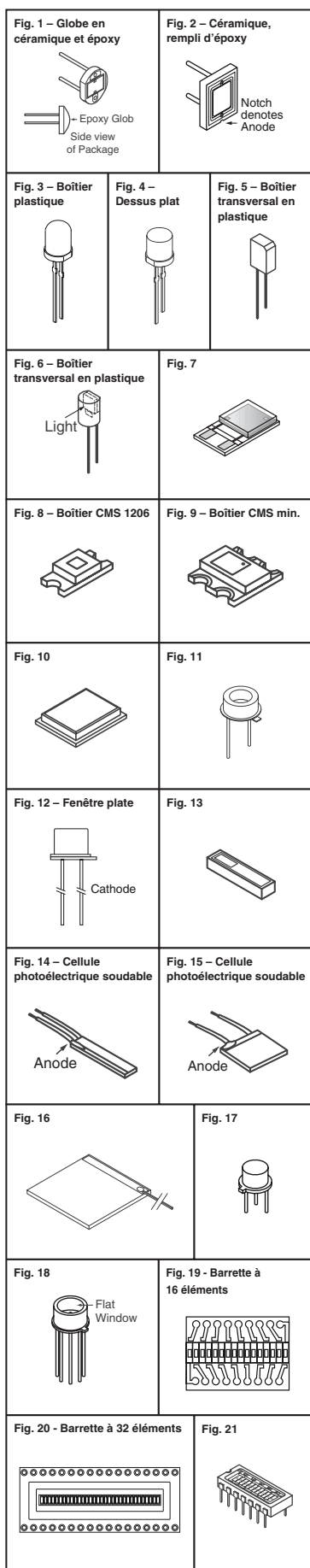


Détecteurs et émetteurs de silicium



Photodétecteurs

Fig.	Zone active (mm)	Cour. de court-circuit (Isc) (uA) typ.	Courant obscur (Id) (nA) max.	Longueur d'onde de sensibilité (nm)		Capuchon de raccordement (pF) typ.	Temps de réponse (ns) typ.	Angle de visualisation (2 x Théta)	N° de référence Digi-Key	Prix unitaire				
				Min.	Crête Max.					1	5	25	100	
Détecteurs à effet photoconducteur surbrillants bleus, ligne de courbe B														
1	17.74	235	50	350	950	1,100	100	20	120	PDB-C107-ND	13.15	—	9.32	8.58
2	100	1,300	30	350	950	1,100	300	25	120	PDB-C110-ND	49.93	—	39.53	37.45
1	7.95	110	30	350	950	1,100	60	16	120	PDB-C113-ND	12.86	—	9.36	8.48
3	1.55	60	30	400	950	1,100	6	10	30	PDB-C134-ND	1.81	—	1.05	.93
4	4.10	67	30	400	950	1,100	18	50	61	PDB-C139-ND	2.80	—	1.73	1.52
1	29.02	400	25	350	950	1,100	200	18	120	PDB-C140-ND	23.65	—	16.87	16.21
3	4.10	150	30	400	950	1,100	18	50	59	PDB-C142-ND	2.80	—	1.73	1.52
5	8.02	90	15	400	950	1,100	10	15	120	PDB-C156-ND	2.55	—	1.57	1.36
6	9.00	145	30	400	950	1,100	10	50	120	PDB-C158-ND	2.55	—	1.57	1.36
7	7.95	110	10	350	950	1,100	60	100	—	PDB-C165-ND	12.82	—	8.17	7.65
8	0.74	10	10	400	950	1,100	15	50	140	PDB-C152SMCT-ND	2.01	—	1.19	1.00
8	0.74	10	10	400	950	1,100	15	50	140	PDB-C152SMTR-ND	—	2375.84/3,000	—	—
9	2.10	25	10	400	950	1,100	4	10	—	PDB-C154SMCT-ND	2.12	—	1.26	1.06
9	2.10	25	10	400	950	1,100	4	10	—	PDB-C154SMTR-ND	—	1707.55/2,000	—	—
10	7.67	90	30	400	900	1,100	15	20	—	PDB-C171SMCT-ND	2.65	—	1.57	1.32
10	7.67	90	30	400	900	1,100	15	20	—	PDB-C171SMTR-ND	—	1072.56/1,000	—	—
Détecteurs à effet photoconducteur avec filtre lumière du jour, ligne de courbe D														
3	1.55	60	30	700	950	1,100	6	10	30	PDB-C134F-ND	1.81	—	1.05	.93
4	4.10	67	30	700	950	1,100	18	50	61	PDB-C139F-ND	2.80	—	1.73	1.52
3	4.10	150	30	700	950	1,100	18	50	40	PDB-C142F-ND	2.80	—	1.73	1.52
5	8.02	90	15	700	950	1,100	10	15	120	PDB-C156F-ND	2.55	—	1.57	1.36
6	9.00	145	30	700	950	1,100	10	50	120	PDB-C158F-ND	2.55	—	1.57	1.36
9	2.10	25	10	700	950	1,100	4	10	—	PDB-C154SMFCT-ND	2.12	—	1.26	1.06
Détecteurs photovoltaïques surbrillants bleus, ligne de courbe B														
11	1.17 x 2.64	40	300	350	—	1,100	340	190	65	PDB-V104-ND	43.25	—	33.90	31.56
1	17.74	200	0.80	350	950	1,100	2,000	1,000	120	PDB-V107-ND	8.03	—	5.53	5.02
2	100	1,200	0.333	350	950	1,100	10,000	2,000	120	PDB-V110-ND	24.31	—	18.24	17.02
1	7.95	80	0.50	350	950	1,100	800	750	120	PDB-V113-ND	13.00	—	8.41	7.88
11	3.15 x 5.69	230	550	350	—	1,100	2,000	190	63	PDB-V114-ND	46.42	—	36.76	34.82
U.V. Détecteurs photovoltaïques surbrillants, ligne de courbe A — Conforme à RoHS														
12	17.63	230	0.05	190	—	1,100	2,000	900	63	PDU-V114-ND	28.91	—	22.25	20.76
Cellules photoélectriques soudables surbrillantes rouges, ligne de courbe B														
13	1.88 x 0.56	17	2.00	350	—	1,100	10	10	—	PDB-C601-1-ND	2.36	—	1.45	1.26
13	1.88 x 0.56	13	7.00	350	—	1,100	250	300	—	PDB-V601-1-ND	2.36	—	1.45	1.26
14	14.50	185	35	350	940	1,100	125	25	—	PDB-C607-2-ND	13.21	—	8.55	8.01
15	42.40	545	75	350	940	1,100	240	30	—	PDB-C609-2-ND	13.90	—	9.00	8.43
16	6.07 x 6.98	545	75	350	—	1,100	240	30	—	PDB-C609-3-ND	11.25	—	8.15	7.25
16	6.07 x 6.98	545	100	350	—	1,100	5,500	1,500	—	PDB-V609-3-ND	11.25	—	8.15	7.25
14	68.70	900	150	350	940	1,100	300	45	—	PDB-C612-2-ND	13.25	—	9.64	8.74
14	3.91 x 17.55	800	80	350	—	1,100	9,000	2,800	—	PDB-V612-2-ND	14.50	—	10.70	9.84
15	86.40	1,000	180	350	940	1,100	350	50	—	PDB-C613-2-ND	13.79	—	10.03	9.09
14	232.70	2,800	700	350	940	1,100	775	150	—	PDB-C615-2-ND	24.43	—	18.33	17.10
14	9.25 x 25.17	2,800	700	350	—	1,100	25,800	7,000	—	PDB-V615-2-ND	43.25	—	33.90	31.56
14	62.91	650	135	350	940	1,100	285	40	—	PDB-V617-2-ND	12.80	—	9.32	8.44
Doublettes cellules surbrillantes bleues, mosaïques de quadrants et de détecteurs multi-éléments, ligne de courbe B														
17	3.23‡	75	2.00	350	950	1,100	15	8	72	PDB-C201-ND	20.92	—	15.70	14.65
18	1.61‡	50	1.00	350	950	1,100	8	7	71	PDB-C203-ND	24.82	—	18.62	17.38
19	2.31‡	28	5.00	350	950	1,100	40	800	—	PDB-C216-ND	45.28	—	35.49	33.04
20	1.47‡	11	0.15	350	950	1,100	30	200	—	PDB-C232-ND	—	—	—	127.05
21	2.03 x 0.97‡	—	2.70	350	—	1,100	28	190	—	SD219-51-03-301-ND	283.97	—	238.17	—
Photodiodes au silicium à effet photoconducteur														
23	2.90	38	1.00	400	950	1,100	60	100	—	PDB-C168-ND	6.14	—	4.18	3.76
23	8.10	102	30	400	950	1,100	25	50	—	PDB-C169-ND	6.14	—	4.18	3.76
23	1.70	27	0.60	400	950	1,100	30	100	—	PDB-C170-ND	6.14	—	4.18	3.76
10	7.67	85	30	840	900	1,050	15	20	—	PDI-C172SMFCT-ND	2.65	—	1.57	1.32
10	7.67	85	30	840	900	1,050	15	20	—	PDI-C172SMFTR-ND	—	1072.56/1,000	—	—
10	7.67	90	30	600	900	1,050	15	20	—	PDV-C173SMCT-ND	2.65	—	1.57	1.32
Photodétecteurs InGaAs — Conforme à RoHS														
17	200	—	1.00	800	—	1,700	0.75	0.18 (max.)	—	SD004-11-41-211-ND	17.02	—	13.25	12.44
17	200	—	5.00	800	—	1,700	6	1.15 (max.)	88	SD012-11-41-211-ND	42.02	—	34.76	32.59
17	1.50	—	50	800	—	1,700	250	10.0 (max.)	113	SD060-11-41-211-ND	146.45	—	126.11	122.74
Détecteurs au niture de gallium (GaN) — Conforme à RoHS														
11	0.076	1.0	100,000	200	—	365	24	10	61	PDU-G101A-ND	13.70	—	9.97	9.03
11	0.076	1.0	100,000	200	—	320	24	10	61	PDU-G102B-ND	15.92	—	11.75	10.81
24	—	.001	100,000	200	—	365	24	10	—	PDU-G105A-SM-ND	10.96	—	7.94	7.07
24	—	.001	100,000	200	—	320	24	10	—	PDU-G106B-SM-ND	11.27	—	8.20	7.44
Photodiode avalanche au silicium — Conforme à RoHS														
17	0.30	—	10	400	—	1,100	—	1	—	SD012-70-62-541-ND	107.50	—	91.40	86.11
17	0.90	—	30	400	—	1,100	—	2	—	SD036-70-62-531-ND	116.28	—	98.86	93.14
25	5.00	—	18	350	—	1,050	25	10	—	SD197-70-72-591-ND	799.71	—	—	—
25	5.00	—	18	350	—	1,050	25	10	—	SD197-70-74-591-ND	799.71	—	—	—
25	10	—	35	350	—	1,050	50	12	—	SD394-70-72-591-ND	1097.10	—	—	—
25	10	—	35	350	—	1,050	50	12	—	SD394-70-74-591-ND	1097.10	—	—	—
26	16	—	600	350	—	1,050	130	15	—	SD630-70-72-500-ND	1373.66	—	—	—
26	16	—	600	350	—	1,050	130	15	—	SD630-70-73-500-ND	1373.66	—	—	—
26	16	—	600	350	—	1,050	130	15	—	SD630-70-74-500-ND	1373.66	—	—	—
26	16	—	600	350	—	1,050	130	15	—	SD630-70-75-500-ND	1373.66	—	—	—
Photodiode au silicium surbrillante rouge														
17	0.83 x 1.02	—	8.00	350	—	1,100	5.6	190	91	SD041-11-33-211-ND	22.11	—	16.58	15.48
18	0.50‡	—	0.40	350	—	1,100	15	190	67	SD055-23-21-211-ND	52.83	—	41.83	39.63
11	1.30	—	2.00	350	—	1,100	28	190	51	SD057-11-21-011-ND	23.97	—	17.98	16.78
11	1.30	—	0.50	350	—	1,100	28	190	51	SD057-14-21-011-ND	23.97	—	17.98	16.78
17	0.58 x 1.19	—	1.00	350	—	1,100	15	190	42	SD066-24-21-011-ND	29.48	—	22.68	21.17
17	1.09 x 2.67	—	30	350	—	1,100	17.5	190	59	SD076-11-31-211-ND	28.74	—	22.11	20.64
22	1.09 x 2.67	—	0.90	350	—	1,100	50	190	55	SD076-14-21-011-ND	23.			

Détecteurs et émetteurs de silicium

Fig. 22 – Fenêtre optique

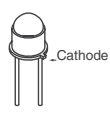


Fig. 23

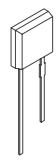


Fig. 24




Fig. 25




Fig. 26




Fig. 27

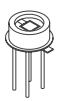


Fig. 28




Fig. 29

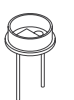


Fig. 30




Fig. 31

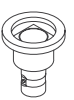


Fig. 32

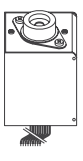


Fig. 33

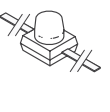


Fig. 34




Fig. 35




Fig. 36

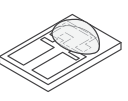


Fig. 37



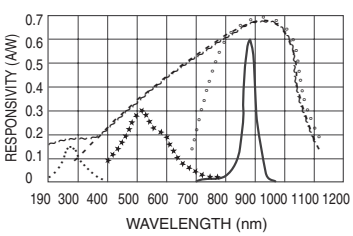


Fig. 38



Graphe de courbe



RESPONSIVITY (AWV)
WAVELENGTH (nm)

A(-) U.V. Enhanced Silicon Detectors
B(-) Blue Enhanced Silicon Detectors
C(.) Silicon Carbide U.V. Detectors
D(*) Daylight Filter Detectors
E(-) GaAlAs Photodiodes
F(*) CdS Photoconductive Cells (relative responsivity)

Photodétecteurs (suite)

Fig.	Zone active (mm)	Cour. de court-circuit (Isc) (uA) typ.	Courant obscur (Id) (nA) max.	Longueur d'onde de sensibilité (nm)			Capuchon de raccordement (pF) typ.	Temps de réponse (ns) typ.	Angle de visualisation (2 x Theta)	N° de référence Digi-Key	Prix unitaire			
				Min.	Crête	Max.					1	5	25	100
18	9.65‡	—	27	350	—	1,100	375	190	107	SD380-23-21-051-ND◆	122.25	—	98.88	91.69
18	9.65‡	—	27	350	—	1,100	375	190	120	SD380-23-21-251-ND◆	138.82	—	114.98	106.46
17	—	—	31	350	—	1,100	390	190	—	SD385-24-21-041-ND◆§	39.59	—	30.22	28.65
18	11.30	—	150	250	—	1,100	1,700	—	—	SD444-41-21-261-ND▲	349.90	—	297.30	—
2	1.00	—	120	350	—	1,100	1,700	190	120	SD445-11-21-305-ND◆	45.37	—	35.56	33.11
2	1.00	—	30	350	—	1,100	1,700	190	120	SD445-14-21-305-ND◆	45.37	—	35.56	33.11
Photodiodes au silicium optimisées bleues — Conforme à RoHS														
29	5.31 x 8.10	500	15	350	—	1,100	120	190	79	PDB-C109-ND	44.11	—	34.58	32.19
30	0.33 x 0.33	1.5	2.00	350	—	1,100	5	190	—	PDB-C122-ND	—	28.38	25.24	23.94
7	1.17 x 2.64	25	10	350	—	1,100	7	190	—	PDB-C164-ND	21.51	—	16.14	15.06
17	2.54	—	6.40	350	—	1,100	87	190	82	SD100-12-22-021-ND	23.12	—	17.35	16.19
18	2.54	—	10	250	—	1,100	87	—	—	SD100-42-22-231-ND▲	93.78	—	75.90	70.48
27	2.54 x 2.18	—	—	—	—	—	—	—	—	SD112-45-11-221-ND▲	66.48	—	53.19	50.34
17	5.59 x 7.62	—	52	350	—	1,100	725	190	90	SD290-12-22-241-ND	44.66	—	35.01	32.59
31	11.28	—	52	350	—	1,100	725	190	95	SD444-12-12-171-ND	139.24	—	115.32	106.78
18	11.30	—	150	250	—	1,100	1,700	—	—	SD444-42-22-261-ND▲	349.90	—	297.30	—
Photodiodes au silicium optimisées UV — Conforme à RoHS														
17	2.54	—	6.50	250	—	1,100	87	190	90	SD100-13-23-222-ND	37.66	—	28.74	27.26
18	2.54	—	10	250	—	1,100	87	—	—	SD100-43-23-232-ND▲	93.78	—	75.90	70.48
17	5.08	—	30	250	—	1,100	345	190	95	SD200-13-23-242-ND	63.44	—	50.76	48.04
18	11.30	—	150	250	—	1,100	1,700	—	—	SD444-43-23-262-ND▲	349.90	—	297.30	—
Module de photodiodes avalanche au silicium — Conforme à RoHS														
32	5.00	—	—	350	—	1,050	—	—	—	SD197-70-72-661-ND	2001.00	—	—	—
32	5.00	—	—	350	—	1,050	—	—	—	SD197-70-74-661-ND	2001.00	—	—	—
32	10.00	—	—	350	—	1,050	—	—	—	SD394-70-72-661-ND	2217.32	—	2088.83	—
32	10.00	—	—	350	—	1,050	—	—	—	SD394-70-74-661-ND	2217.32	—	2088.83	—
Photodiode plastique — Conforme à RoHS														
33	0.61	10	10	700	—	1,100	25	6	48	PDB-C144-ND	2.92	—	1.81	1.59
33	0.43	10	30	400	—	1,100	5	6	48	PDB-C145-ND	2.92	—	1.81	1.59
34	0.43	2.0	30	400	—	1,100	1	6	120	PDB-C150SM-ND	5.46	—	3.16	2.83
6	2.84	120	30	400	—	1,100	30	50	120	PDB-C157-ND	2.67	—	1.65	1.45
35	2.65	90	30	400	—	1,100	15	20	120	PDB-C160SM-ND	2.50	—	1.53	1.33

‡ Par élément § Double-cellule ◆ Quad ▲ Détecteur/Amplificateur ◆ Conforme à RoHS

Composants oxymétriques

Fig.	Type de tension directe (V)	Tension disruptive inversée (V)	661 nm			880/905/940 nm			N° de référence Digi-Key	Prix unitaire					
			Type de longueur d'onde de pointe (nm)	Type de largeur de bande passante (nm)	Type de temps de montée/ chute (µs)	Type de tension directe (V)	Tension disruptive inversée (V)	Type de longueur d'onde de pointe (nm)		Type de largeur de bande passante (nm)	Type de temps de montée/ chute (µs)	1	25	100	250
36	1.8	5	661	25	0.1/0.04	1.2	5	905	50	1.4/0.7	PDI-E832-ND	12.36	8.00	7.50	7.17
36	1.8	5	661	25	0.8/0.8	1.3	5	940	50	0.8/0.8	PDI-E833-ND◆	43.10	33.78	31.45	30.29
37	1.8	5	661	21	0.1/0.04	1.3	5	880	50	0.8/0.8	PDI-E837-ND◆	43.10	33.78	31.45	30.29
36	1.8	5	661	21	0.1/0.04	1.2	5	880	50	0.8/0.8	PDI-E838-ND◆	43.10	33.78	31.45	30.29

◆ Conforme à RoHS

Émetteurs à infrarouge ultra puissants

Fig.	Type de tension directe (V)	Connexion de courant direct (mA)	Type de puissance de sortie (mW)	Angle de faisceau (2x theta)	Type de longueur d'onde de pointe (nm)	N° de référence Digi-Key	Prix unitaire			
							1	100	250	250
12	1.5	100	5.6	60	880	PDI-E801-ND	12.59	9.17	8.31	8.02
22	1.5	100	5	10	880	PDI-E802-ND◆	12.59	9.17	8.31	8.02
22	1.5	100	9	6	880	PDI-E803-ND	12.59	9.17	8.31	8.02
22	1.5	100	20	80	880	PDI-E804-ND◆	14.46	9.36	8.77	8.39
22	1.5	100	10	5	880	PDI-E805-ND	12.59	9.17	8.31	8.02
3	1.5	100	30 (max.)	35	880	PDI-E808-A-ND	11.93	8.68	7.87	7.59
3	1.6	100	90	—	880	PDI-E809-ND◆	11.93	8.68	7.87	7.59
22	1.5	180	15	—	880	PDI-E813-ND◆	46.62	36.54	34.02	32.76
22	1.7	100	2.7	—	850	PDI-E825-ND◆	30.23	23.25	21.71	20.54
34	1.2	100	0.7	—	940	PDI-E940SM-ND◆	11.93	8.68	7.87	7.59

◆ Conforme à RoHS

Cellules photoconductrices

Fig.	Dim. D (mm)	Résistance de cellule‡				Type de longueur d'onde de pointe (nm)	Type de montage/ descente (ms)	N° de référence Digi-Key	Prix unitaire							
		10 Lux à 2 856 K		Sombre					1	25	100	250				
		Min. (KΩ)	Max. (KΩ)	Min. (MΩ)	SEC											
38, ligne de courbe F	11.00	8	16	0.3	10	520	55/25	PDV-P5001-ND	2.24	1.37	1.23	1.12				
		12	30	0.5				PDV-P5002-ND	2.24	1.37	1.23	1.12				
		12	58	1				PDV-P5003-ND	2.24	1.37	1.23	1.12				
	7.20	4	20	0.5	10	520	55/20	PDV-P7002-ND◆	2.36	1.45	1.26	1.19				
			3	11				0.2	PDV-P8001-ND	1.81	1.05	.93	.86			
			40	120				1	PDV-P8005-ND	1.81	1.05	.93	.86			
		5.10	80	240	5	10	520	60/25	PDV-P8006-ND	1.81	1.05	.93	.86			
				4	11				0.15	PDV-P8101-ND	1.81	1.05	.93	.86		
				9	20				0.3	PDV-P8102-ND	1.81	1.05	.93	.86		
			27	50	94	2.5	10	520	60/25	PDV-P8103-ND◆	1.85	1.10	.97	.90		
										60	2	PDV-P8104-ND◆	1.85	1.10	.97	.90
										20	2	PDV-P8105-ND◆	1.85	1.10	.97	.90
4.20	10	100	1	10	520	60/25	PDV-P8105-ND◆	1.54	.94	.81	.78					
							80	240	20	PDV-P8107-ND	1.81	1.05	.93	.86		
							4	11	0.3	PDV-P9001-ND	1.52	.87	.75	.71		
	10	20	45	1	10	520	60/25	PDV-P9002-ND	1.52	.87	.75	.71				
								11	20	0.5	PDV-P9002-1-ND	1.52	.87	.75	.71	
								16	33	1	PDV-P9003-ND	1.52	.87	.75	.71	
		23	33	3	1	10	520	60/25	PDV-P9003-1-ND	1.52	.87	.75	.71			
									27	60	2	PDV-P9004-ND	1.52	.87	.75	.71
									50	94	2.5	PDV-P9005-ND	1.52	.87	.75	.71
		10	20	45	1	10	520	60/25	PDV-P9005-1-ND	1.52	.87	.75	.71			
									80	200	5	PDV-P9006-ND	1.52	.87	.75	.71
									10	100	1	PDV-P9007-ND	1.52	.87	.75	.71
10	20		45	1	10	520	60/25	PDV-P9008-ND	1.52	.87	.75	.71				
								20	45	1	PDV-P9103-ND	1.52	.87	.75	.71	
								10	50	5	PDV-P9200-ND	1.52	.87	.75	.71	
5	20	20	20	10	520	70/15	PDV-P9200-ND	1.52	.87	.75	.71					
							5	20	20	PDV-P9203-ND	1.52	.87	.75	.71		

◆ Conforme à RoHS ‡ Les cellules photoélectriques sont adaptées à une lumière de 100 à 500 Lux.

Livraison gratuite pour les commandes de plus de 65 € ! Tous les prix sont indiqués en euros.